

(株) 銭高組 ○正員 松本 計三
 (株) 銭高組 田口 武雄
 三井造船(株) 小川 憲二

1. まえがき

砂, レキを含む掘削土砂をポンプ圧送する場合, その圧送解析にコンクリートで提案されているレオロジー解析法を適用し, 圧送土砂の流量解析することで土砂の圧送性が判断できる事を, 前回年次学術講演会で発表した。その後更に, 対象土質の種類を増やして実験を行なった。また, 実施工において現場計測を行ない, 同解析法が土砂のポンプ圧送に適用出来ることを確認したので, 以下に報告する。

2. 実験概要

実験は, 図-1, 表-1 に示す材料を圧送対象土砂とし, 前回の材料に新たに4種類増やして計6種類とした。実験条件は, 図-2 に示すように配管は5B管(D=12.5cm)で水平換算距離L=107mである。使用したポンプは前回同様, 西独製のトランクチューブ型スラジポンプ(KOR-1052HD)である。改良材は, ベントナイト(群馬産250#), 粉末粘土(SCP-B)を使用した。改良土砂の作成は, 圧送材料にベントナイト, 粘土を粉末添加し, 空練り後水を投入して混練した。混練には, ミキサー車を用いて行なった。測定項目は, 実験時にスランプ, テーブルフロー, 土性値, 吐出圧と管内圧力, 加圧ブリーディング試験, 吐出流量, 実験後に改良土砂のレオロジー特性を測定した。表-2 に配合と測定結果を示す。

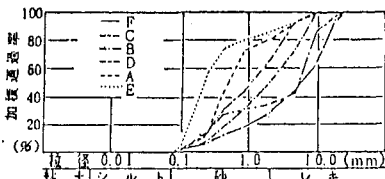


図-1 モデル粒径加積曲線

表-1 材料特性

	A	B	C	D	E	F	
最大粒径mm	—	10.0	30.5	5.0	9.5	30.5	
60%粒径mm	0.63	3.0	6.3	1.7	0.26	8.8	
30%粒径mm	0.33	0.75	0.65	0.4	0.15	2.1	
10%粒径mm	0.2	0.25	0.19	0.18	0.105	0.37	
均等係数	3.15	12.0	33.16	9.44	2.48	23.7	
曲率係数	0.86	0.75	0.35	0.52	0.82	1.4	
F	M	2.57	3.93	4.48	3.17	1.64	5.13
比	皿	2.691	2.702	2.612	2.697	2.685	2.621

なお配合は, 水/細粒分比を170%とした。

3. 実験結果及び検討

土砂の圧送形態は, ビンガム体の管内流動と考えられる事から, その解析には, BACKINGHAMの流量式が適用できる。

$$Q = \pi X R^4 \times \Delta P \times 980 / 8L \eta p l \times (1 - 4/3(\eta/R) + 1/3(\eta/R)^4) + \pi R^2 V R \quad \dots (1)$$

ここに, Q: 流量 (cm³/sec), R: 管半径 (cm), ΔP: 圧力差 (gf/cm²) L: 管長 (cm), ηpl: 粘性係数 (g/cm·sec), rf: 栓流半径 (cm), VR: すべり速度 (cm/sec)

(1) 式より, 各モデルを砂質土, レキ質土に分け, 各流量を算出し, その実測値と計算値について比較検討した。

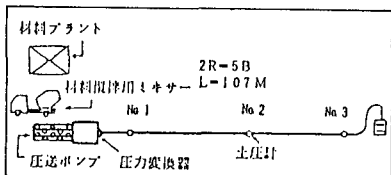


図-2 実験概略

表-2 配合と測定結果

記号	体積濃度 (%)	水/細粒分 (%)	単位分/土砂 (%)	スランプ (cm)	含水比 (%)	降伏値 (gf/cm ²)	粘性係数 (g/cm·s)
D	0.50	170	18	27.0	28.3	0.29	21.0
D	0.55	170	15	25.1	24.9	0.55	22.4
D	0.80	170	12	22.2	20.1	0.96	43.9
F	0.60	170	8	21.7	18.6	3.41	377.6
F	0.55	170	15	25.3	21.2	2.54	566.6
F	0.61	170	13	24.0	20.6	2.65	213.1
C	0.63	170	10	22.6	15.5	3.47	422.6
C	0.65	170	10	24.6	17.4	2.2	144.6
C	0.67	170	9	24.6	15.7	2.06	60.6
E	0.50	170	18	26.8	3.8	0.72	62.2
E	0.52	170	16	25.2	3.0	0.74	61.1
E	0.51	170	14	20.3	2.7	2.09	262.7
A	0.53	170	11	15.5	20.4	3.45	79.7

3-1. 砂質土 (モデルA, D, E)

砂質土の場合, レオロジー定数の降伏値から求められる栓流半径が, rf < R/2 と小さく, すべりによる流量 πR²VR ≒ 0 として流量を求められる事から, 実測値との対応を見ると, 図-3 のような対応となる。砂質土の場合, ほとんどがすべり

による流量ではなく、層流的流動と考えるとよいものと思われる。即ち降伏値の比較的小さい物の場合、すべりの影響を無視する。

3-2. レキ質土 (モデルB, C, F)

栓流半径 $rf > R$ となり、実験条件から $rf = R$ 即ち全て栓流となる。故に(1)式の第一項が零となり、 $Q = \pi R^2 \cdot VR$ とすべりによる流量で求まる。コンクリートにおける村田、鈴木等の提案している管壁面でのラビング力の概念に準じて、管壁におけるせん断力 τR と、実測流量から求めたすべり速度 VR との関係、及び降伏値の関係から、すべり速度 VR を求める実験式(2)を得た。

$$VR = 1/0.02 (R \cdot \Delta P / 2 \cdot L - 0.63 \tau f + 0.63) \text{ ----- (2)}$$

図-4に(1), (2)式より求めた計算流量と実測流量の対応を示したが、図より比較的善く対応していると考えられる。この様に2回に渡る実験により、土砂のポンプ圧送が、レオロジー解析法を適用する事で論じられるとの結論を得た。この結論より、実工事のポンプ圧送において計測を行ない、実用に向けての確認を行なった。

4. 現場計測例

4-1. 工事及び計測概要

工事は、図-5に示す土質条件での土圧系シールド工事 ($\phi = 2.882\text{m}$, $L = 1000\text{m}$) で、測定位置は砂質シルトであった。

この位置では、土砂の改良は注水のみで行ない、測定項目は吐出圧、管内圧、流量、スランプ、土性値である。砂質土部では、泥しょう注入 ($\rho = 1.3$) による改良である。流量の測定は、電磁流量計で、レオロジー定数の推定は簡易粘度計である。

4-2. 測定結果及び検討

表-3に測定値を、図-7に流量の対応を示す。圧送土砂の含水比は42-47%，スランプは18-24cmであった。図より、実測値と計算値との対応を実験結果(砂質土)に比してみると、実験同様ほぼ満足のいく結果を得た。即ちシルトの場合、砂質土同様降伏値が比較的小さく、層流的な流動による圧送であると考えられる。この様に同解析法が、実工事においても十分適用可能である事が確認された。

5. おわりに

当研究及び現場計測に際し、多大な御指導及び御協力を頂いた、都立大の村田教授、同研究室、作業所の皆様に感謝の意を表します。参考文献：松本、吉田、和泉「土砂ポンプ圧送に関するレオロジーの適用」土木学会第39回概要集

表-3 測定値

RING	圧力差 (kg/cm ²)	距離 (m)	スランプ (cm)	実測流量 (m ³ /h)	計算流量 (m ³ /h)	降伏値 (g/cm ²)	粘性係数 (g/cm ²)
184	18.51	324	23.1	16.8	16.04	0.43	115
165	16.53	325	23.6	16.98	13.71	0.44	113
180	19.59	338	18.0	19.02	22.07	0.75	280
194	17.78	351	22.7	15.40	15.84	0.63	80
195	26.03	352	21.9	16.46	15.30	0.49	184
234	25.46	387	23.6	16.39	18.72	0.74	63
298	19.94	444	24.2	18.40	23.50	0.45	54

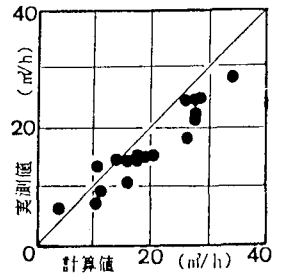


図-3 実測値と計算値の対応

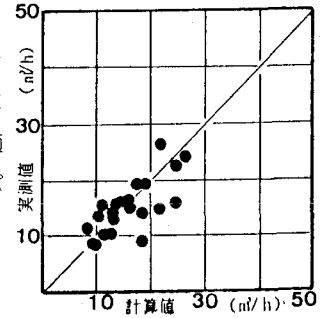


図-4 実測値と計算値の対応

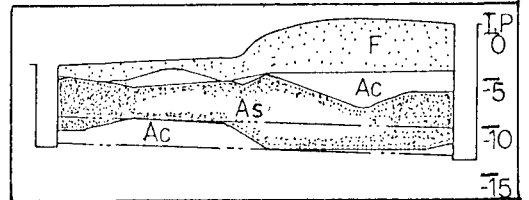


図-5 地盤概略

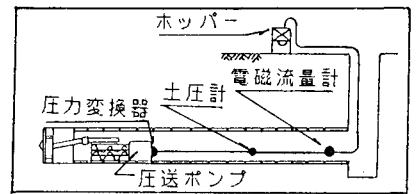


図-6 施工概略

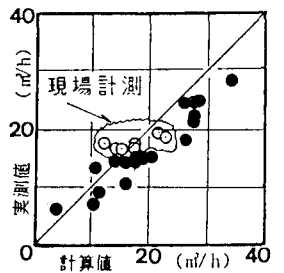


図-7 流量の対応